

UNIGX - ΠΡΟΓΡΑΜΜΑ ΕΠΕΞΕΡΓΑΣΙΑΣ ΓΕΩΧΗΜΙΚΩΝ ΔΕΔΟΜΕΝΩΝ ΚΑΙ ΣΥΝΤΑΞΗΣ ΤΕΩΧΗΜΙΚΩΝ ΧΑΡΤΩΝ ΣΕ ΔΥΟ ΚΑΙ ΤΡΕΙΣ ΔΙΑΣΤΑΣΕΙΣ

E. Βασιλειάδης*, Δ. Σγουρός*, N. Ανδρουλακάκης**

ΣΥΝΟΨΗ

Το UNIGX είναι ένα πακέτο προγραμμάτων, βασισμένο στο UNIRAS και αποτελεί τη νέα γενιά των γραφικών λογισμικών, παρέχοντας τόσο ακρίβεια υπολογισμών δύο και μια ελκυστική παρουσίαση αποτελεσμάτων. Είναι προσανατολισμένο στα γεωχημικά δεδομένα, αλλά μπορεί να χρησιμοποιηθεί και με κάθε είδους δεδομένα, τα οποία έχουν x, y συντεταγμένες και μια z τιμή. Όλα τα αποτελέσματα είναι σε μορφή υσπεριεκτικών καμπυλών δύο ή τριών διαστάσεων, ακόμη και τεσσάρων.

Οι υσπεριεκτικοί αυτοί χάρτες υποστηρίζουν επιλογή χρωμάτων για γέμισμα των περιοχών μεταξύ των υσαριθμητικών καμπυλών, καθώς και έναν έξυπνο τρόπο παρουσίασης κειμένου και διαστάσεων.

ABSTRACT

UNIGX is based on UNIRAS and represents a new generation of graphics software systems putting equal emphasis on accurate calculation and delightful presentation of results. It works with Geochemical data but also can be used to provide graphics displays of any kind of data which have x, y coordinates and a z value. All the results are in a form of high-resolution multicolor 2d, 3d and 4d contour and grid maps, contour maps accommodate fault lines, selection of colors for smooth color fill between contour lines, and contour curves with intelligent annotation layout.

ΕΙΣΑΓΩΓΗ

Στη γεωχημική έρευνα αναγνωριστικής ή λεπτομερούς φάσης, η χρήση H/Y είναι απαραίτητη και καθοριστική, λόγω του μεγάλου όγκου δεδομένων και της ταχύτητας και ακρίβειας των υπολογισμών που απαιτούνται.

E. VASSILIADES - D. SGOUROS - N. ANDROULAKAKIS : UNIGX - An application of software for Geochemical data processing and mapping in 2d and 3d.

* I.G.M.E., Δ/νση Γεωχημείας, Μεσογείων 70, 115 27 ΑΘΗΝΑ

** I.G.M.E., Τμήμα Μηχανογράφησης, Μεσογείων 70, 115 27 ΑΘΗΝΑ

* I.G.M.E., Geochemistry Division, 70 Messogion St., 115 27 ATHENS

** I.G.M.E., EDP Division, 70 Messogion St., 115 27 ATHENS.

Επίσης η αωστή παρουσίαση των αποτελεσμάτων, παιζει μεγάλο ρόλο στην ορθή και γρήγορη εξαγωγή συμπερασμάτων.

Το UNIGX παρέχει όλα τα παραπάνω, με έμφαση κυρίως στην παρουσίαση των αποτελεσμάτων υπό μορφή χαρτών. Στοχεύει στην παραγωγή γεωχημικών χαρτών σε δύο ή τρεις διαστάσεις. Ειδικά στις τρεις διαστάσεις παρέχει τη δυνατότητα παρουσίασης των χαρτών από διαφορετικές γωνίες (στροφή των αξόνων, διαφορετική κλίση). Έτσι ο χρήστης έχει τη δυνατότητα να δει την πραγματική απεικόνιση των θετικών και αρνητικών γεωχημικών ανωμαλιών.

Οι χάρτες εμφανίζονται κατ' αρχήν στην οθόνη όπου γίνονται οι τυχόν διορθώσεις και αφού παρθεί το επιθυμητό αποτέλεσμα, στέλνονται είτε στον έγχρωμο εκτυπωτή, είτε στον ηλεκτροστατικό σχεδιαστή για τελική σχεδίαση.

Το UNIGX στηρίζεται στο UNIRAS και "τρέχει" σε μενάλους υπολογιστές. Υποστηρίζει πάρα πολλά περιφερειακά, όπως έγχρωμα τερματικά, σχεδιαστές, ψηφιοποιητές, καθώς και ηλεκτροστατικούς σχεδιαστές. Τέλος, με μικρές αλλαγές, μπορεί να χρησιμοποιηθούν και άλλα δεδομένα εκτός των γεωχημικών, αρκεί να είναι σε μορφή x, y, z.

ΠΕΡΙΓΡΑΦΗ ΤΟΥ UNIGX

Το UNIGX, όπως φαίνεται και στον πίνακα I, περιλαμβάνει τα εξής στάδια:

- I. Αρχειοθέτηση αναλύσεων
Ψηφιοποίηση
Δημιουργία ενταίου αρχείου
- II. Επεξεργασία
- III. Εκτυπώσεις
Γραφήματα
Χάρτες

Στάδιο I

Τα δεδομένα των γεωχημικών αναλύσεων των δειγμάτων καταχωρούνται σε κάρτες.

Οι πληροφορίες αυτές, με πρόγραμμα αρχειοθέτησης εισάγονται στον υπολογιστή.

Ακολουθεί η ψηφιοποίηση των χαρτών και συγκεκριμένα, των σημείων δειγματοληψίας, των ορίων των νομών ή των νησιών, των ακτογραμμών, των σημαντικών πόλεων, των τριγωνομετρικών κ.λ.π. (οι συντεταγμένες είναι σε UTM).

Τα αρχεία των αναλύσεων των δειγμάτων και των συντεταγμένων των θέσεων δειγματοληψίας, ενοποιούνται σε ένα νέο αρχείο, που για κάθε δειγμα περιέχει τις

ΕΞΗΣ ΠΛΗΡΟΦΟΡΙΕΣ :

- Αριθμός Φύλλου χάρτη στον οποίο ανήκει.
- Αριθμός δειγμάτος.
- Ζώνη UTM στον οποία ανήκει.
- Συντεταγμένες x, y σε UTM.
- Τιμές αναλύσεων.

Ένα δείγμα της μορφής του ενταίου αρχείου, φαίνεται στον πίνακα II.

Στάδιο II

Η στατιστική επεξεργασία περιλαμβάνει, την σύνταξη των κλασσικών στατιστικών παραμέτρων (Mean, Variance, Std dev., Skew, Kurtosis κ.λ.π.), την σύνταξη τοπογραμμάτων, καμπυλών αθροιστικής συχνότητας, cluster ανάλυση κ.λ.π.

Στο στάδιο αυτό, καθορίζονται τα όρια των κλάσεων στις οποίες χωρίζεται το σύνολο των τιμών των αναλύσεων κάθε στοιχείου για την κατασκευή χαρτών κατανομής, καθώς και οι ομάδες των στοιχείων που θα συμπεριληφθούν στην κατασκευή συνθετικών χαρτών.

Στους πίνακες III και IV φαίνεται μέρος από το OUTPUT προγράμματος στατιστικής επεξεργασίας γεωχημικών δεδομένων. GEORGIU,D.(1975), DAVIS,J.C.(1973).

Στάδιο III

Το στάδιο αυτό περιλαμβάνει κυρίως την παραγωγή γεωχημικών χαρτών στην οθόνη, στον εκτυπωτή ή στον ηλεκτροστατικό σχεδιαστή.

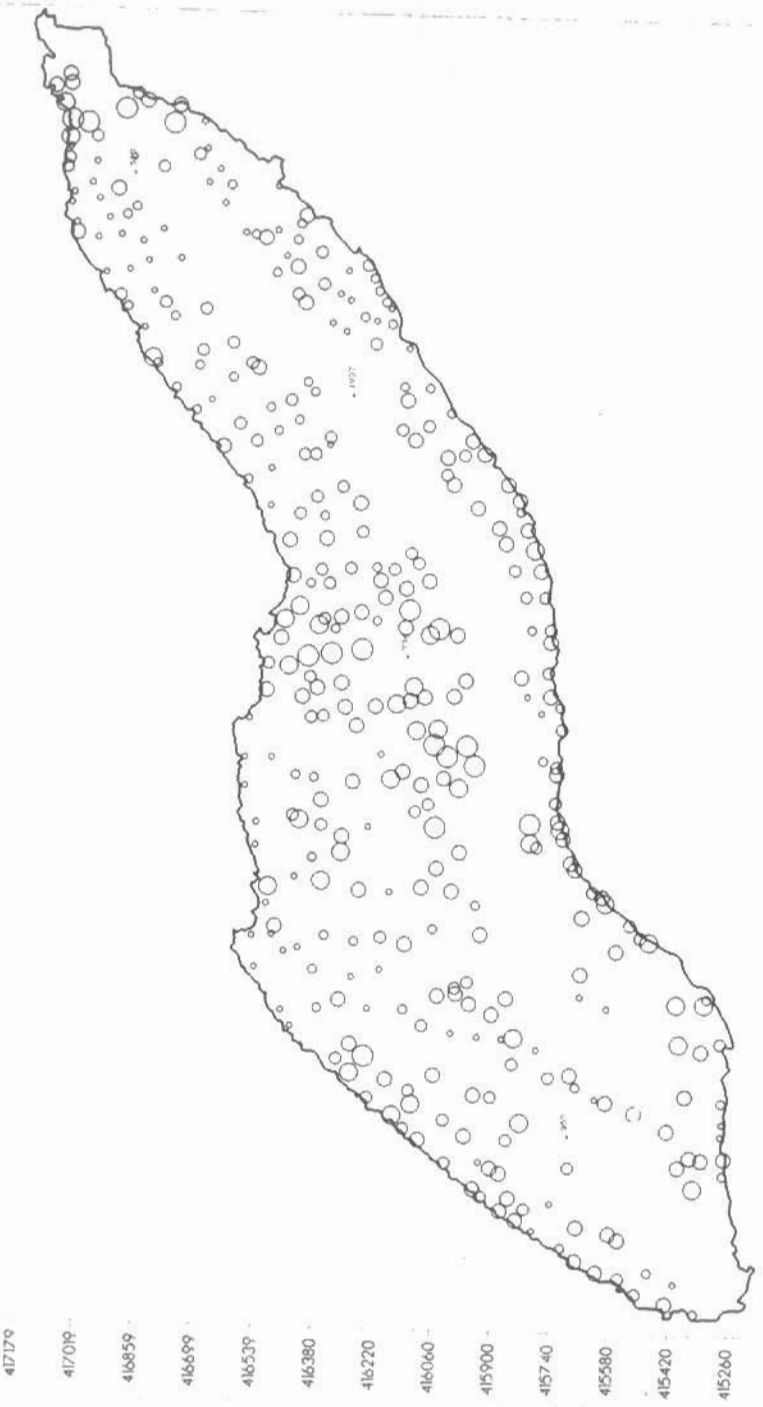
Οι χάρτες που παράγονται, μέχρις στιγμής, από το UNIGX είναι τεσσάρων κατηγοριών.

- Χάρτες δειγματοληψίας
- Χάρτες κατανομής κλάσεων
- Ισοπεριεκτικοί χάρτες (Contour maps)
- Συνθετικοί χάρτες.

Στους χάρτες δειγματοληψίας παρουσιάζονται, οι θέσεις δειγματοληψίας, το τοπογραφικό υπόβαθρο της περιοχής, και εναλλατικά οι αριθμοί των δειγμάτων (Σχ. 1 και 2).

Οι χάρτες κατανομής κλάσεων είναι δύο τύπων

- Σημειακής απεικόνισης, με κύκλους πάνω στις θέσεις δειγματοληψίας, διαμέτρου ανάλογης της κλάσης στην οποία ανήκει το δείγμα (Σχ. 3).
- Σημειακής απεικόνισης, με ίσους κύκλους, γεμάτους με χρώμα που καθορίζεται από την κλάση στην οποία ανήκει το δείγμα. Λόγω τεχνικών δυσκολιών στην παρουσίαση εγχρώμων χαρτών στα πρακτικά, ο χάρτης αυτός δεν παρουσιάζεται εδώ.



Σχ. 3. Γεωχημικός χάρτης κατανοής - Σημελαή απεικόνιση.
Fig. 3. Geochemical map of Mn classes distribution - Point
distribution system.

Οι υσοπεριεκτικοί χάρτες (contour maps) είναι δύο ή τριών διαστάσεων

(χ. 4, 5, 6).

Οι χάρτες αυτοί περιέχουν λαριμητικές καμπύλες των τιμών αναλύσεων γνώστων, μετά από κάποιαν εξομάλυνση. AKIMA, HIROSHI, (1978).

Στις δύο διαστάσεις υπάρχουν οι εξής δυνατότητες :

- Έγχρωμες λαριμητικές καμπύλες με χρώμα ανάλογο της κλάσης.
- Ιαριθμητικές καμπύλες, με τον περιεχόμενό τους χώρο βαμμένο με χρώμα ανάλογο της κλάσης.

Στις τρεις διαστάσεις υπάρχει η δυνατότητα παραγωγής του ίδιου χάρτη με διαφορετικές γωνίες περιστροφής των αξόνων και κλίσεις (χ. 6).

Με την τεχνική αυτή, της στροφής, ο χρήστης μπορεί να βγάζει πολύ γρήγορα συμπεράσματα για τις πραγματικές τιμές, τόσο των θετικών όσο και των αρνητικών ανωμαλιών.

Οι συνθετικοί χάρτες, λόγω των τεχνικών δυσκολιών που αναφέρθηκαν προηγουμένως, δεν παρουσιάζουνται εδώ, αλλά θα προσπαθήσουμε να τους περιγράψουμε όσο είναι δυνατόν με λόγια.

Μπορούμε να συνθέσουμε χάρτες δύο διαστάσεων, για δύο ή κατ' περισσότερα στοιχεία, ή για το ίδιο στοιχείο αλλά με αναλύσεις σε διαφορετικούς χρόνους.

Επίσης είναι δυνατή η σύνθεση χάρτη δύο διαστάσεων, με χάρτη τριών διαστάσεων με παρουσίαση σε διαφορετικά επίπεδα. Ο χρήστης μπορεί άμεσα από τον χάρτη δύο διαστάσεων να εντοπίσει τις ανωμαλίες και από τον χάρτη τριών διαστάσεων να διακρίνει τις διαφορές και την πραγματική αξία τους.

Τα ίδια συμπεράσματα θα μπορούσαν να εξαχθούν και από μελέτη μόνο του χάρτη των δύο διαστάσεων, αν ο χρήστης αύξανε το πλήθος των κλάσεων. Κάτι τέτοιο όμως είναι αρκετά χρονοβόρο και αντιοκονομικό.

Τέλος για να ηάρει ο αναγνώστης κάποια ιδέα του πώς λειτουργεί το UNIGX, παρουσιάζουμε - λόγω πεδιορισμένου χώρου - κομμάτια του πηγαίου προγράμματος (Source).

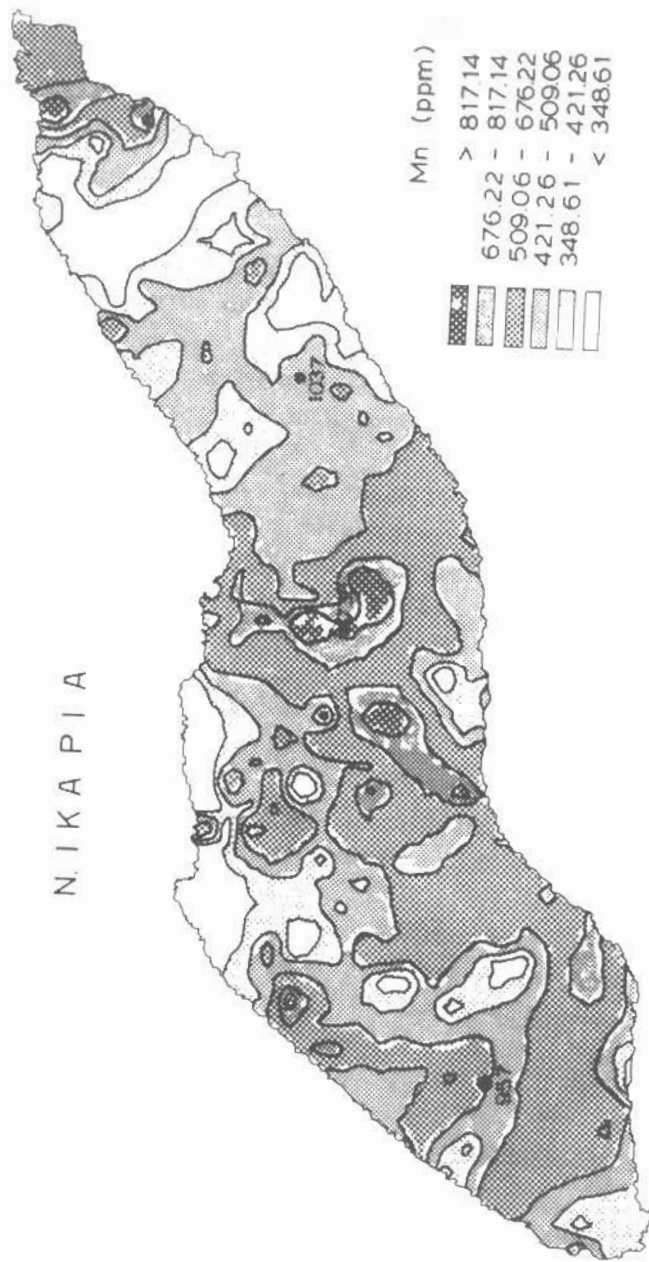
Στους πίνακες V και VI φαίνονται, ένα μέρος του κώδικα του αρχικού μενού επιλογών και ένα μέρος του κώδικα της υπορούτινας PLOTT 4 από την οποία παράγεται ο χάρτης κατανοής κλάσεων με εξομαλυσμένες τιμές.

ΣΥΜΠΕΡΑΣΜΑΤΑ

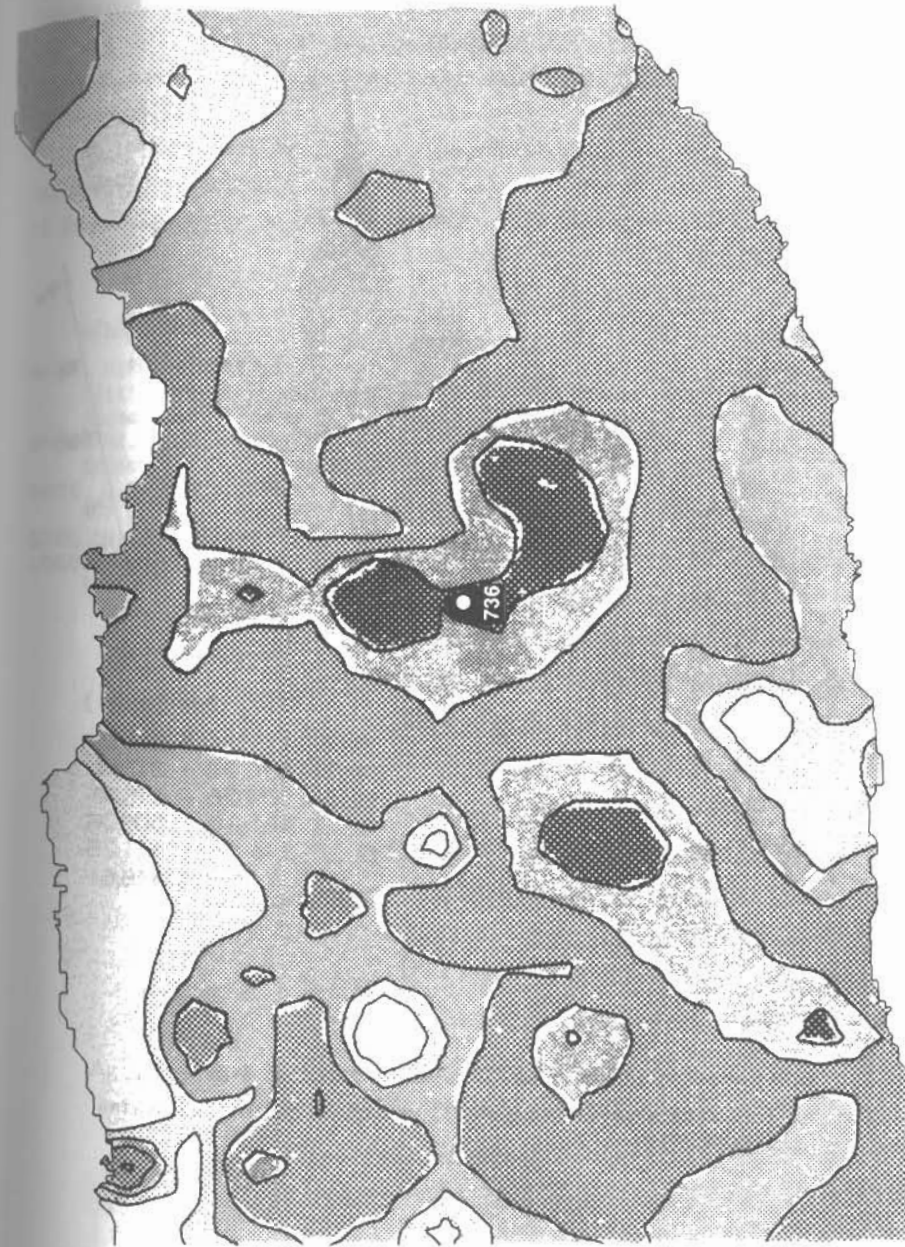
Το UNIGX, όπως παρουσιάζεται στα πρακτικά αυτά, επιδέχεται περαιτέρω βελτιώσεις.

Οι δυνατότητές του είναι πάρα πολλές και καθημερινά αυξάνονται. 'Ηδη μέχρι τώρα έχουν γραφεί περί τις 5.000 γραμμές σε FORTRAN και στο άμεσο μέλλον

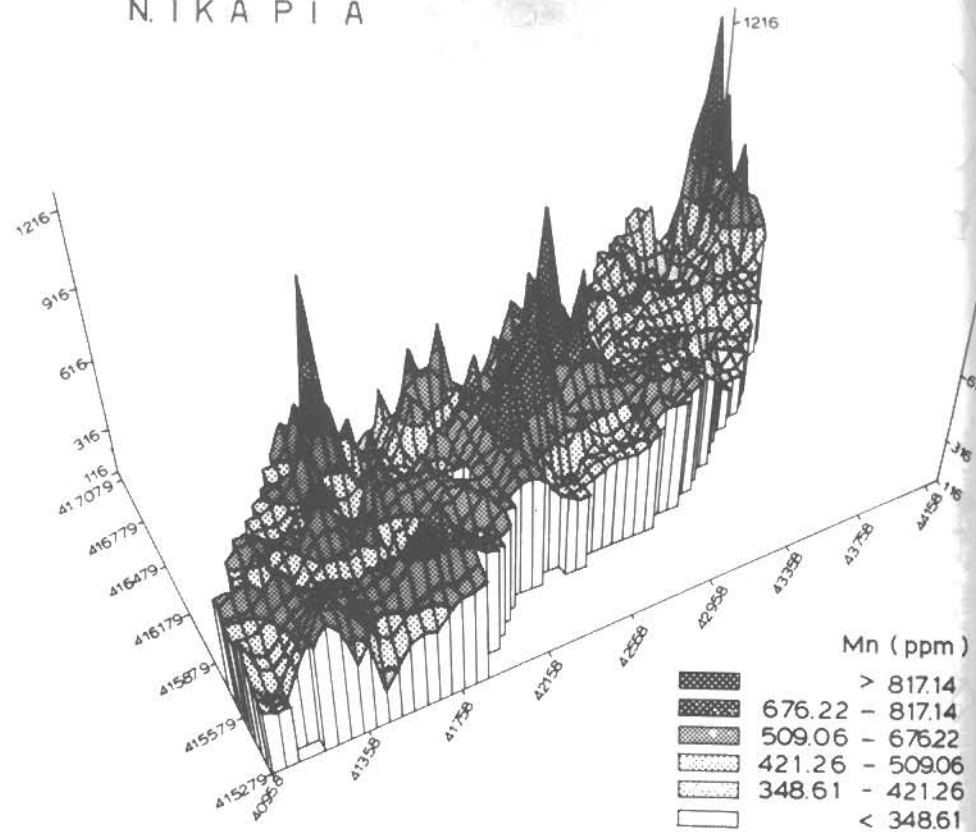
N I K A P I A



Σχ. 4. Γεωχημικός χάρτης κατανοής - Εξουαίνουμενες τιμές.
Fig.4. Geochemical map of Mn contour smooth line distribution.



Σχ. 5. Γεωχημικός χάρτης κατανοής - Μεγεθυνον τημάτος χάρτη εξουαίνουμενων τιμών.
Fig.5. Magnification of the geochemical map of the Mn contour smoothing distribution.



Σχ. 6. Γεωχημικός χάρτης τριών διαστάσεων εξομαλυμένων τιμών.

Fig. 6. Tree dimension (trend surface) map of Mn contour smoothing distribution.

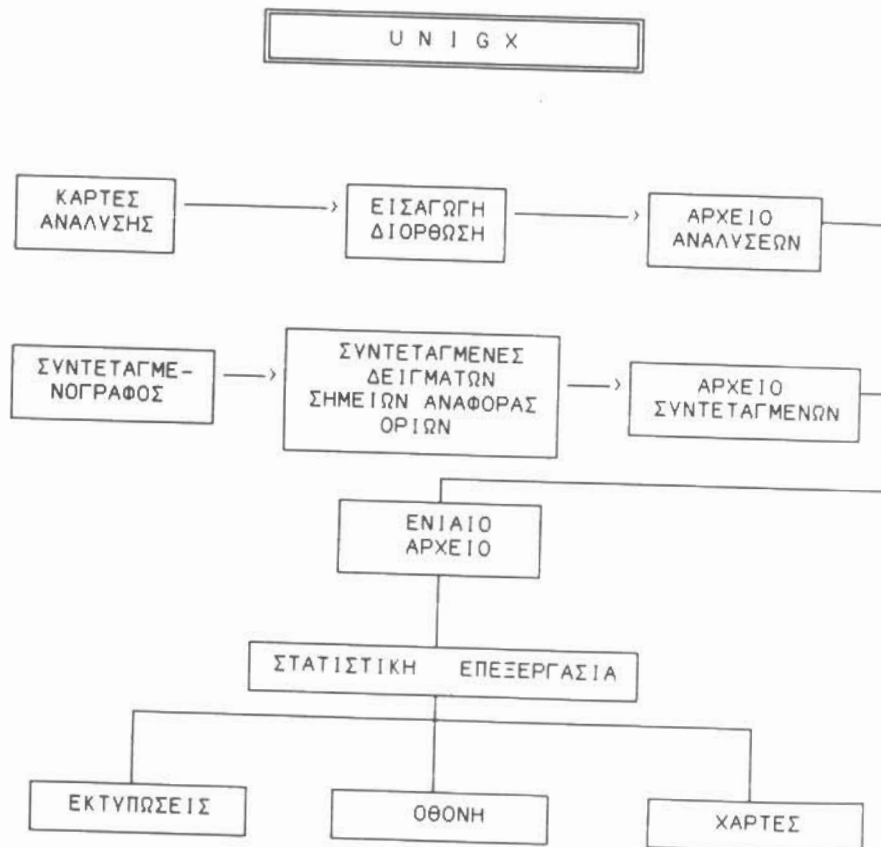
προβλέπεται να διπλασιαστούν.
Το πρόγραμμα αυτό επέφερε επαναστατικές αλλαγές στον τρόπο δουλειάς της Γεωχημείας. Οι χρόνοι παραγωγής χαρτών μειώθηκαν σημαντικά, ενώ ο τρόπος παρουσίασης τους έγινε πιο ελκυστικός και παραστατικός. Συγχρόνως οι πληροφορίες και τα συμπεράσματα που μπορεί να βγάλει ένας Γεωχημικός από τους χάρτες αυτούς, αυξήθηκαν κατά πολύ.

Πιστεύουμε ότι, από τις παραπρήσεις και τις υποδείξεις των επιστημόνων της Δ/νσης Γεωχημείας ή οποιασδήποτε άλλης Διεύθυνσης του Ι.Γ.Μ.Ε., το πακέτο αυτό θα βελτιωθεί και θα αυτοματοποιηθεί ακόμη περισσότερο.

ΒΙΒΛΙΟΓΡΑΦΙΑ

- AKIMA, HIROSHA, (1978). A Method of Bivariate Interpolation and Smooth Surface Fitting for Irregularly Distributed Data Points. *ACM Transactions on Mathematical Software*, vol. 4, No 2, pp 148-149.
- ΒΡΥΝΙΩΤΗΣ, Δ., (1990). Γεωχημική έρευνα ιζημάτων ρεμάτων Ν. Ικαρίας. Εσωτερική έκθεση Ι.Γ.Μ.Ε. (υπό έκδοση).
- DAVIS, J.C. (1973). Statistics and data analysis in geology. New York, Wiley, 550 pp.
- GEORGIOU, D. (1975). "Geoplot", G.A.E.C. Demo 75/6. Αθήνα, Κ.Π.Ε. Δημόκριτος.
- LAWSON, C.L. (1977). Software for C1 Surface Interpolation. JPL Publication 77-30.

ΠΙΝΑΚΑΣ ΙΙ
ΣΤΑΔΙΑ ΕΠΕΞΕΡΓΑΣΙΑΣ ΓΕΩΧΗΜΙΚΩΝ ΔΕΔΟΜΕΝΩΝ
TREATMENT STAGES FOR GEOCHEMICAL DATA



ΠΙΝΑΚΑΣ ΙΙ
ΑΡΧΕΙΟ ΓΕΩΧΗΜΙΚΩΝ ΔΕΔΟΜΕΝΩΝ
GEOCHEMICAL DATA FILE

22112	1342608263902387120	0	49	18	115	0.0	
22112	2342611843902519115	0	46	15	107	0.0	
22112	3342616933902715	90	0	40	16	102	0.0
22112	4342618033902803	90	0	14	11	63	0.0
22112	5342620743902715	85	0	16	8	68	0.0
22112	6342624253902454	95	0	24	12	76	0.0
22112	7342627033902428	80	0	20	13	86	0.0
22112	8342628673902379	80	0	14	11	72	0.0
22112	9342629393902073	95	0	31	12	91	0.0
22112	10342632873899928	73	0	23	8	75	0.0
22112	11342630043899456103	0	20	10	72	0.0	
22112	12342629613898932	85	0	20	8	69	0.0
22112	13342627923898448	85	0	20	9	73	0.0
22112	14342626703898405	75	0	12	8	60	0.0
22112	15342622863898686	68	0	12	8	51	0.0
22112	16342627713897677	85	0	21	11	77	0.0
22112	17342634113901119	80	0	30	12	95	0.0
22112	18342633133900583	90	0	28	16	93	0.0
22112	19342633133902323100	0	10	8	50	0.0	
22112	20342645453902201	85	0	16	8	83	0.0
22112	21342638033902010	70	0	17	12	85	0.0
22112	22342641743902123	60	0	13	9	70	0.0
22112	23342641763902007	70	0	16	8	73	0.0
22112	24342645743902310	85	0	15	8	67	0.0
22112	25342651613902074	53	0	17	11	81	0.0
22112	26342655633901471	85	0	13	8	60	0.0
22112	27342654003901909	72	0	30	11	89	0.0
22112	28342657943902169	52	0	26	0	64	0.0
22112	29342665353901900	62	0	28	12	95	0.0
22112	30342662123902183	56	0	14	-1	65	0.0
22112	31342654623902449	69	0	21	12	89	0.0
22112	32342649823902541	75	0	12	8	58	0.0
22112	33342658893902579	80	0	16	9	69	0.0
22112	34342670923903612	85	0	23	10	85	0.0
22112	35342674173903218	95	0	17	9	81	0.0
22112	36342675793902528	70	0	20	14	91	0.0
22112	37342675843902663	70	0	16	8	67	0.0
22112	38342683683902810	80	0	18	7	71	0.0
22112	39342684453902921	80	0	9	-1	41	0.0
22112	40342690333902426	80	0	25	10	83	0.0
22112	41342691383902491	80	0	34	21	120	0.0
22112	42342669723901819110	0	42	53	154	0.0	
22112	43342673303901676112	0	36	14	133	0.0	
22112	44342672053901799	60	0	25	10	73	0.0
22112	45342676463901705	70	0	37	14	104	0.0

ΠΙΝΑΚΑΣ III

ΣΤΑΤΙΣΤΙΚΕΣ ΠΑΡΑΜΕΤΡΟΙ ΚΑΙ ΣΥΣΧΕΤΙΣΜΟΣ

STATISTICAL PARAMETERS AND CORRELATIONS

VARIANCE, STANDARD DEVIATION, SKEW AND KURTOSIS
ARE EXPRESSED IN LOG UNITS

	N	MEAN	VARIANCE	STD DEV	SKEW	KURTOSIS
Cu	600	20.781	.057	.239	-.200	1.271
Pb	505	7.308	.266	.516	-.276	.643
Zn	600	58.053	.054	.233	.431	2.197
Ag	600	10.382	.063	.251	-.798	1.460
Co	600	42.739	.129	.360	.371	.367
Ni	507	24.829	.190	.436	-.937	2.977
Mn	600	412.755	.062	.249	-.326	.285

CORRELATION MATRIX

THE DATA HAS BEEN TRANSFORMED INTO LOGARITHMS

	Cu	Pb	Zn	Ag	Co	Ni	Mn
Cu	1.00	.53	.65	.56	.44	.38	.69
Pb	.53	1.00	.74	.06	-.04	.21	.34
Zn	.65	.74	1.00	.42	.40	.21	.62
Ag	.56	.06	.42	1.00	.68	.16	.71
Co	.44	-.04	.40	.68	1.00	-.05	.53
Ni	.38	.21	.21	.16	-.05	1.00	.16
Mn	.69	.34	.62	.71	.53	.16	1.00

NUMBER OF SAMPLES = 600

STUDENTS T TEST OF CORRELATION COEFFICIENTS

	Cu	Pb	Zn	Ag	Co	Ni	Mn
Cu	.00	12.27	20.78	16.52	11.91	9.02	23.23
Pb	12.27	.00	21.94	1.18	-.82	3.76	7.11
Zn	20.78	21.94	.00	11.35	10.82	4.80	19.12
Ag	16.52	1.18	11.35	.00	22.85	3.65	24.23
Co	11.91	-.82	10.82	22.85	.00	-1.13	15.14
Ni	9.02	3.76	4.80	3.65	-1.13	.00	3.54
Mn	23.23	7.11	19.12	24.23	15.14	3.54	.00

DEGREES OF FREEDOM = 598

STUDENTS T (95 PCT LEVEL) = 1.964

DEGREES OF FREEDOM FOR Pb = 503, STUDENTS T (95 PCT LEVEL) = 1.965

DEGREES OF FREEDOM FOR Ni = 505, STUDENTS T (95 PCT LEVEL) = 1.965

	NO. EIGENVALUE	PERCENTAGE OF TRACE	0	10	20	30	40	50	60	70	80	90	100	PERCENT
1	3.591	51.3	51.3	+	+	+	+	+	+	+	+	+	+	
2	1.462	20.9	72.2	+	+	+	+	+	+	+	+	+	+	
3	.927	13.2	85.4	+	+	+	+	+	+	+	+	+	+	
4	.397	5.7	91.1	+	+	+	+	+	+	+	+	+	+	
5	.287	4.1	95.2	+	+	+	+	+	+	+	+	+	+	
6	.218	3.1	98.3	+	+	+	+	+	+	+	+	+	+	
7	.118	1.7	100.0	+	+	+	+	+	+	+	+	+	+	

ΠΙΝΑΚΑΣ IV

CLUSTER ANALYSIS

CLUSTER ANALYSIS

INPUT DATA MATRIX - COLUMNS = VARIABLES, ROWS = OBSERVATIONS

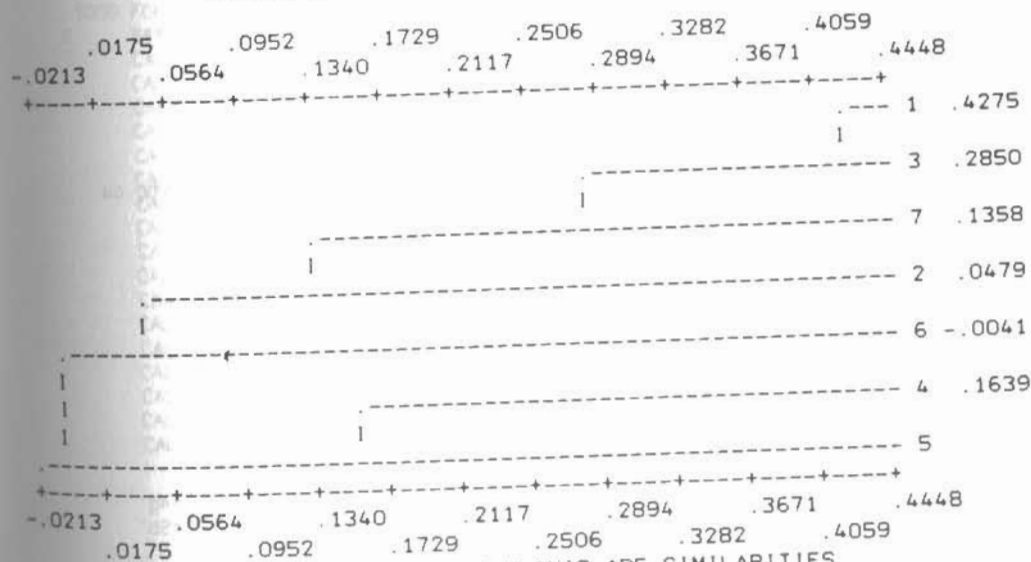
	1	2	3	4	5	6	7
1	1.0000	.2434	.4275	-.0180	.1038	.1766	.2671
2	.2434	1.0000	.2468	.0861	-.0151	.0422	.0265
3	.4275	.2468	1.0000	.1367	.0912	.0787	.3030
4	-.0180	.0861	.1367	1.0000	.1639	.0642	-.1500
5	.1038	-.0151	.0912	.1639	1.0000	-.1182	.0018
6	.1766	.0422	.0787	.0642	-.1182	1.0000	-.0207
7	.2671	.0265	.3030	-.1500	.0018	-.0207	1.0000

SIMILARITY MATRIX

	1	3	.42750
	4	5	.16389
	1	7	.28502
	1	2	.13579
	1	6	.04786
	1	4	-.00407

COLUMNS 1 AND 2 - OBSERVATIONS COMBINED INTO CLUSTERS

COLUMN 3 - SIMILARITY LEVEL OF CLUSTERING



ΠΙΝΑΚΑΣ

ΚΩΔΙΚΑΣ ΤΟΥ ΑΡΧΙΚΟΥ ΜΕΝΟΥ ΕΠΙΛΑΦΕΩΝ

PART OF SOURCE CODE

```

*****  

* PROGRAM: UNIGX - COPYRIGHT (C) I.G.M.E. 1990  

* AUTHORS: E. VASSILIADES - D. SGOUROS - N. ANDROULAKAKIS  

* COMPUTER NAME: PRIME 9755  

* LANGUAGE: FORTRAN 77  

*****  

COMMON /EVR/ZEST,WK,X,Y,Z,Z1,Z2,Z3,Z4,1D,X2,Y2  

DIMENSION X(30000),Y(30000),Z(30000)  

DIMENSION ZCL(10),KOLOR(11),ZEST(450,450),WK(30,40),X1(5),Y1(5)  

DIMENSION XREF(100),YREF(100),ZREF(100),WR(1000),ID(15000)  

CHARACTER*80 AFIL,VFT,AFIL1,WORD,TITLE,TITY  

CHARACTER*1 WORD1(80)  

CHARACTER*40 ZREF  

EQUIVALENCE(WORD1,TITLE)  

RESERV=10.  

CONECT=10.  

CALL TNOUAC('Δώσε το αρχείο των δεδουλεύνων: ',INTS(30))  

READ(*,55) AFIL  

OPEN(15,FILE=AFIL,STATUS='OLD')  

55 FORMAT(AB0)  

GO TO 669  

668 WRITE(*,*)  

      O Κωδικός αυτός δεν υπάρχει'  

      -----  

      WRITE(*,*)  

      WRITE(*,*)  

669 WRITE(*,*)  

      T Y P O I   X A R T O N '  

      ======  

      WRITE(*,*) '0 = Δειγματοληπίας μόνο με θέση'  

      WRITE(*,*) '1 = Δειγματοληπίας με θέση και αριθμό δειγμάτος'  

      WRITE(*,*) '2 = Με θέση και τιμή ανάλυσης'  

      WRITE(*,*) '3 = Κατανομής ιλάσεων με έγχρωμους ιώνες'  

      WRITE(*,*) '4 = Εξουαλησμένων τιμών'  

      WRITE(*,*) '5 = Κατανομής ιλάσεων με έγχρωμους ιώνες ανάλογης απότισης'  

      WRITE(*,*) '6 = Συνθετικός χάρτης έως και τέσσερα στοιχεία'  

      WRITE(*,*) '7 = Τριών διαστάσεων με σάβδους'  

      WRITE(*,*) '8 = Τριών διαστάσεων με εξουαληνση'  

      CALL TNOUAC('Δώσε τον τύπο του χάρτη: ',INTS(25))  

      READ(*,*) ITYP  

      IF(ITYP.LT.0.OR.ITYP.GT.8) GO TO 668  

      IF(ITYP.EQ.6) GO TO 6000  

667 WRITE(*,*)  

      KRATIKOI FORMAT  

      ======  

      WRITE(*,*) '-1 για δινό δου FORMAT.'  

      WRITE(*,*) '0=Για χάρτη δειγματοληπειας'  

      WRITE(*,*) '1=Cos    2=U    3=Cu    4=Pb    5=Zn    6=Ag'  

      WRITE(*,*) '7=Co    8=Ni    9=Mg    10=Ho   11=Mn   12=Sb'  

      WRITE(*,*) '13=Cr   14=St   15=Cd   16=V    17=B'  

      WRITE(*,*)  

      CALL TNOUAC('Δώσε ιωάνικο FORMAT: ',INTS(20))  

      READ(*,*) IFT

```

ΠΙΝΑΚΑΣ V

ΚΩΔΙΚΑΣ ΥΠΟΡΟΥΤΙΝΑΣ PLOTI

SUBROUTINE PLOTT 4

```

SUBROUTINE PLOTT4(N,M,ZCL,X,Y,Z,KOLOR,TITLE,ZEST,WK,X1,Y1,XSIZE,
*VSIZE,WIT,XMIN,XMAX,YMIN,YMAX,SCL,IGR)
DIMENSION X(M),Y(M),Z(M),ZCL(N),KOLOR(N+1),X1(5),Y1(5)
DIMENSION ZEST(450,450),WK(20,40)
CHARACTER*80 TITLE,TITLE2,TITY
WRITE(*,*)
* Δώσε : Τον Βαθύτερο εξομάλυνσης '
WRITE(*,*)
* : Την Ειδικότερο του παράθυρου (σε π) '
WRITE(*,*)
* : Το Βήμα (σε π) '
WRITE(*,*)
* : Η Ο αν θέλεις ή όχι τις τιμές αναλύσεων'
CALL TNOUAC('π.γ. 2.2500,125.1 :',INTS(20))
READ(*,*) NDEG,DIA,NSTEP,IPR
RAD=DIA/2.
IXS=(XMAX-XMIN)/NSTEP
IVS=(YMAX-YMIN)/NSTEP
IF(IPR.EQ.1) THEN
WRITE(*,*)
* Δώσε : Την γωνία ειπύπωσης των τιμών (σε μολες)'
WRITE(*,*)
* : Τον αριθμό των δεικτών ψηφίων που θα τυπωθούν'
CALL TNOUAC('π.γ. 45.2 :',INTS(12))
READ(*,*) IA,NDE
END IF
CALL TNOUAC('Δώσε τον τίτλο για παράθυρο και Βήμα:',INTS(37))
READ(*,55) TITLE2
55 FORMAT(A80)
CALL TNOUAC('Δώσε τον ειδικό τίτλο (π.γ.Υπεύθ. έργου):',INTS(41))
READ(*,1000) TITY
000 FORMAT(A80)
***** UNIRAS *****
CALL GROUTE ('$ HC5835:EX')
CALL GOPEN
CALL RCMODE('RGB',100)
CALL GVECT(X1,Y1,5)
CALL GCHARF('SHA1')
CALL GLIMIT(XMIN,XMAX,YMIN,YMAX,0.0,0.0)
CALL GVPOR(60.,75.,XSIZE,YSIZE)
CALL GMAPFR(-1.)
CALL GAXIS(1,XMIN,WIT,XMAX,'$')
CALL GAXIS(2,YMIN,WIT,YMAX,'$')
CALL GSHADE(KOLOR,N+1)
CALL GSMTH(NDEG)
CALL GRADUS(RAD)
CALL GINTP1(X,Y,Z,M,ZEST,IXS,IVS,WK)
CALL GZCL(ZCL,N,0)
CALL GEOWID(-1.)
CALL GCNR2S(ZEST,IXS,IVS)

```